

МИНИСТЕРСТВО ВЫСШЕГО И СРЕДНЕГО СПЕЦИАЛЬНОГО ОБРАЗОВАНИЯ  
Р С Ф С Р

ОРДЕНА ТРУДОВОГО КРАСНОГО ЗНАМЕНИ  
НАУЧНО-ИССЛЕДОВАТЕЛЬСКИЙ РАДИОФИЗИЧЕСКИЙ ИНСТИТУТ (НИРФИ)

Препринт № 115

ТЕПЛОВАЯ ПАРАМЕТРИЧЕСКАЯ НЕУСТОЙЧИВОСТЬ В НЕОДНОРОДНОЙ  
ПЛАЗМЕ. ЧАСТЬ II. НЕЛИНЕЙНАЯ ТЕОРИЯ

С.М.Грач,  
А.Н.Караштан,  
Н.А.Митяков,  
В.О.Рапопорт,  
В.Ю.Трахтенберг

Горький - 1978 г.

В последнее время в связи с экспериментами по воздействию на ионосферу мощным КВ радиоизлучением большое внимание привлекли эффекты теплового мелкомасштабного расслоения замагниченной плазмы в высокочастотном электрическом поле. Механизмом такого расслоения могут служить тепловые эффекты в частности, тепловая параметрическая неустойчивость (ТПН), линейная теория которой была рассмотрена в [1–3], или резонансная неустойчивость [5]. В данной работе предпринята попытка построить нелинейную теорию ТПН. При построении линейной теории тепловой параметрической неустойчивости (ТПН) в [2] амплитуды плазменных волн и низкочастотных возмущений плотности предполагались пренебрежимо малыми. При превышении порога ТПН, определяемого формулой (4.7) в [2], эти возмущения нарастают, и существенный вклад в развитие неустойчивости начинают давать нелинейные члены. Качественно нелинейная стадия ТПН выглядит следующим образом. С ростом амплитуды плазменных волн в первую очередь начинает сказываться нелинейный источник нагрева, обусловленный взаимодействием этих волн между собой. Очевидно, подключение такого источника способствует развитию неустойчивости и росту трансформации энергии из волны накачки в плазменные волны и возмущения плотности. Насыщение неустойчивости связано с эффектами пространственного затухания волны накачки из-за рассеяния на неоднородностях плотности, а также с многократным рассеянием плазменных волн, приводящим к растеканию энергии плазменных колебаний по большому фазовому объему пространственных масштабов<sup>+)</sup>. Эти процессы мы включим в рассмотрение при анализе нелинейной стадии ТПН.

+)  
Наряду с указанными эффектами на нелинейной стадии имеет место нелинейное взаимодействие низкочастотных возмущений между собой. Этот процесс сравнительно мало эффективен и ниже при построении нелинейной теории учитываться не будет (хотя он может играть существенную роль при формировании спектра неоднородностей в области мелких масштабов).

Ниже взято за основу приближение слабой турбулентности плазмы, когда все возмущения можно представить в виде набора квазисинусоидальных волн, слабо взаимодействующих между собой. При этом исходные уравнения удобно представить в виде пространственно-временного Фурье-разложения по нормальным колебаниям линейной среды и применить метод итераций (как это обычно делается в приближении слабой турбулентности). Ниже в § 1 сформулированы основные динамические уравнения теории, в § 2 обсуждается приближение случайных фаз и приведены усредненные уравнения для интенсивностей плазменных волн и флуктуаций плотности, в § 3 проанализированы некоторые решения этих уравнений в стационарном случае, в § 4 проведено качественное сопоставление теории с результатами эксперимента. В приложении дан вывод усредненных уравнений § 2, учитывающий специфику рассматриваемой задачи.

### § 1. Динамические уравнения нелинейной стадии ТПН.

За исходное уравнение для описания высокочастотных возмущений, как и в § 3 в [2], возьмем укороченное уравнение для комплексной амплитуды Фурье-компоненты плазменной волны в геометрико-оптическом приближении, дополненное членом, описывающим многократное рассеяние плазменных волн на неоднородностях плотности:

$$\begin{aligned}
 & i\Delta\omega A_{k_p} \omega + V_z \frac{\partial A_{k_p} \omega}{\partial z} + \frac{1}{2} \frac{\partial V_z}{\partial z} A_{k_p} \omega + \tilde{\gamma} A_{k_p} \omega = \\
 & = i \int \beta_{\ell t} d\Omega d\tilde{\alpha}_p [n_{\tilde{\alpha}_p \Omega}(z) A_t \exp \left\{ -i \int_{z_0}^z (K_t - K_z + \tilde{\alpha}_z) dz' \right\} \delta(\tilde{k}_p - \tilde{\alpha}_p) \cdot \\
 & \cdot \delta(\omega - \Omega - \omega_t) + n_{\tilde{\alpha}_p \Omega}^* (z) A_t \exp \left\{ -i \int_{z_0}^z (K_t - K_z - \tilde{\alpha}_z) dz' \right\} \delta(\tilde{k}_p + \tilde{\alpha}_p) \cdot \\
 & \cdot \delta(\omega + \Omega - \omega_t)] + i \int \beta_{\ell p} d\Omega d\omega' d\tilde{\alpha}_p d\tilde{k}'_p A_{\tilde{k}_p} \omega' [n_{\tilde{\alpha}_p \Omega}(z) \cdot \\
 & \cdot \exp \left\{ -i \int_{z_0}^z (K'_z - k_z + \tilde{\alpha}_z) dz' \right\} \delta(\omega - \Omega - \omega') \delta(\tilde{k}_p - \tilde{k}'_p - \tilde{\alpha}_p)], \\
 \end{aligned} \tag{1.1}$$

где  $\beta_{\ell t, \ell p} = \text{Re} \frac{w^2 \partial (\alpha_{\ell t}^* \epsilon_{\ell p} \alpha_{\ell p})}{\partial N} \left( \frac{\partial \Omega}{\partial w} \right)^{-1}$ ,  $V_z$  — проекция групповой скорости на направление изменения свойств среды  $z$ , остальные обозначения те же, что и в § 2–4 [2].

Как частный случай, полагая  $A_{\tilde{k}_p} \omega = A_t \delta(\tilde{k}_p) \delta(\omega - \omega_t)$  и интегрируя (1.1) по  $\omega$  :  $\tilde{k}_p$ , имеем уравнение для амп. уды волны накачки

$$i\Delta\omega A_t + \sqrt{\frac{t}{2}} \frac{\partial A_t}{\partial z} + \frac{1}{2} \frac{\partial V_z^t}{\partial z} A_t + \delta_t A_t =$$

$$= i \int \beta_{lt} d\Omega d\omega' d\bar{\alpha}_p d\bar{k}'_p A_{k'_p, \omega'} [n_{\bar{\alpha}_p, \Omega}(\bar{x}) \exp\left\{-i \int_{z_0}^z (k'_x - k_t + \alpha_x) dz'\right\} \cdot \\ \cdot \delta(\omega_t - \Omega - \omega') \delta(\bar{k}'_p + \bar{\alpha}_p) + n_{\bar{\alpha}_p, \Omega}^* \exp\left\{-i \int_{z_0}^z (k'_x - k_t - \alpha_x) dz'\right\} \delta(\omega_t + \Omega - \omega') \cdot \\ \cdot \delta(\bar{k}'_p - \bar{\alpha}_p)],$$

$$\beta_{lt} = \text{Re} \frac{\omega^2 \partial (a_\alpha^\ell \epsilon_{\alpha\beta} a_p^{*\ell})}{\partial N_c} \left( \frac{\partial D_t}{\partial \omega} \right)^{-1}.$$

В (1.2) мы не учли рассеяние в поперечных волнах  $\bar{k}'_t$ , которое при  $V_t^l \gg V_1^l$  пренебрежимо мало (см. подробнее [4]).

Запишем уравнения, описывающие низкочастотные возмущения. В качестве исходных используем уравнения теплопроводности и диффузии для Фурье-компоненты низкочастотных возмущений по поперечной координате  $\bar{p}$  (рис. 1) и времени (см. уравнения (2.10), (2.11) в § 2 [2]), дополненные источником нагрева, обусловленным плазменными волнами:

$$\frac{d^2 T_{S1} \bar{\alpha}_p}{dz^2} - \Lambda_T^2 T_{S1} \bar{\alpha}_p = - \frac{Q_{S1} \bar{\alpha}_p}{D_T}, \quad (1.3)$$

$$\frac{d^2 \Delta N_{S1} \bar{\alpha}_p}{dz^2} - \Lambda_N^2 \Delta N_{S1} \bar{\alpha}_p = - \frac{Q_{N1} \bar{\alpha}_p}{D_N},$$

где использованы те же обозначения, что и в § 2 [2] за тем исключением, что источники нагрева  $Q_{S1} \bar{\alpha}_p$  состоят уже из двух членов:

$$Q_{S1}^{Tt} \bar{\alpha}_p = Q_{S1}^{Tt} \bar{\alpha}_p + Q_{S1}^{Tt} \bar{\alpha}_p, \quad (1.4)$$

$$Q_{S1}^{Tt} \bar{\alpha}_p = \frac{2}{3N} \int_{z_0}^z d\bar{k}_p d\omega \left[ (\bar{A}_t \hat{B} \bar{A}_{\bar{k}_p, \omega}^*) \delta(\bar{k}_p + \bar{\alpha}_p) \delta(\omega - \omega_t + \Omega) \times \right. \\ \times \exp\left\{i \int_{z_0}^z (k_t - k'_x - \alpha_x + \frac{\Delta\omega^+}{V_x}) dz'\right\} + (\bar{A}_{\bar{k}_p, \omega} \hat{B} \bar{A}_t^*) \delta(\bar{k}_p - \bar{\alpha}_p) \times$$

$$\left. \times \delta(\omega - \omega_t - \Omega) \exp\left\{i \int_{z_0}^z (k_t - k'_x + \alpha_x + \frac{\Delta\omega^-}{V_x}) dz'\right\} \right],$$

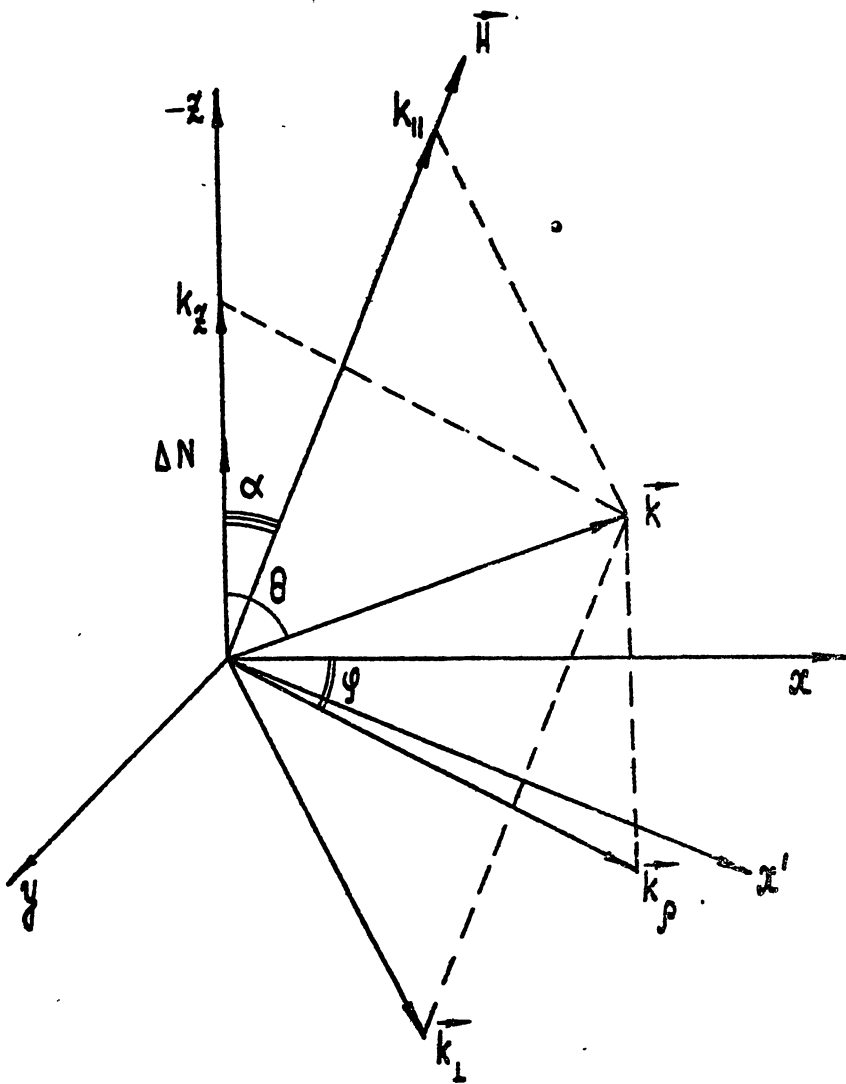


Рис. 1.

Система координат, используемая в тексте;  $z = 0$  – соответствует уровню отражения волны зондирования.

$$Q_{\omega, \bar{x}_p}^{T\ell} = \frac{2}{3N} \int d\bar{K}_p d\bar{\alpha}_{z'} \bar{K}_p^\ell d\omega' (\bar{A}_{\bar{k}_p w} \hat{B} \bar{A}_{\bar{k}'_p w'}) \cdot \\ \delta(\bar{k}_p - \bar{k}'_p - \bar{x}_p) \delta(\omega - \omega' - \Omega) \exp \left\{ -i \int_{z_0}^z \Delta K_z^\ell dz' \right\}, \quad (1.6)$$

$$\Delta K_z^\ell = k_z - k'_z - \bar{x}_z + \frac{\Delta \omega}{V_z}.$$

В дальнейшем мы будем интересоваться стационарными решениями уравнений (1.1)–(1.3) на стадии насыщения неустойчивости. Учтем также, что, согласно § 4 [2] частотный спектр возбуждаемых неоднородностей очень узкий. Это позволяет  $\eta_{\omega, \bar{x}_p}$  приближенно представить в виде<sup>+</sup>:

$$\eta_{\omega, \bar{x}_p} = \Delta N_{\bar{x}_p} \delta(\omega).$$

Указанные обстоятельства позволяют упростить соотношения (1.1)–(1.6). В частности, уравнения (1.1)–(1.2) перепишутся следующим образом:

$$(i\Delta\omega_0 + \tilde{\gamma}) A_{k_p} + V_z^\ell \frac{\partial A_{k_p}}{\partial z} + \frac{1}{2} \frac{\partial V_z^\ell}{\partial z} A_{k_p} = \quad (1.1a)$$

$$= i \sum_t \int \beta_{et} A_t d\bar{x}_p \delta(\bar{k}_p \mp \bar{x}_p) \Delta N_{\bar{x}_p}^\mp \exp \left\{ i \int_{z_0}^z (k_z - k'_z \mp x_z) dz' \right\} + \\ + i \int \beta_{ee} A_{\bar{k}_p} d\bar{K}'_p d\bar{\alpha}_p \delta(\bar{k}_p - \bar{k}'_p - \bar{x}_p) \Delta N_{\bar{x}_p} \exp \left\{ i \int_{z_0}^z \Delta K_z^\ell dz' \right\}$$

$$V_z^t \frac{\partial A_t}{\partial z} + \frac{1}{2} \frac{\partial V_z^t}{\partial z} A_t + \gamma_t A_t = i \sum_t \int \beta_{et} d\bar{\alpha}_p d\bar{K}'_p A_{\bar{k}'_p} \Delta N_{\bar{x}_p}^\mp \times \quad (1.2a) \\ \times \delta(\bar{k}'_p \pm \bar{x}_p) \exp \left\{ i \int_{z_0}^z (k_t - k'_z \mp x_z) dz' \right\},$$

где  $\Delta\omega = \omega_t - \omega_p$ ,  $\omega_p^{(0)}$  – решение дисперсионного уравнения для плазменных волн в линейном приближении,  $A_{k_p} = \int A_{k_p w} dw$ ,  $\Delta N_{\bar{x}_p}^- = \Delta N_{\bar{x}_p}^+ = \Delta N_{\bar{x}_p}^\mp$ . Для низкочастотных возмущений вместо (1.3) будем иметь одно интегральное уравнение:

$$\Delta N_{\bar{x}_p}(z) = - \frac{N}{2\pi D_T \Lambda_T} \int_{-\infty}^{\infty} \exp \left\{ -\Lambda_T |z - z'| \right\} Q_{\bar{x}_p}^T dz' \quad (1.7)$$

<sup>+</sup>) При этом разумеется, теряется информация о структуре частотного спектра неоднородностей, содержащаяся в уравнениях (1.1)–(1.3).

$$Q_{\vec{x}_p}^T = \frac{2}{3N} \sum_{\mp} \int d\vec{k}_p (\hat{A}_{\vec{k}_p} \hat{G} \hat{A}_{\vec{k}_t}^*) \delta(\vec{k}_p \mp \vec{\alpha}_p) \exp \left\{ \pm i \int_{z_0}^z (k_t - k_z \pm \omega - \frac{\Delta \omega_0}{V_z}) dz' \right\} + \\ + \frac{2}{3N} \int d\vec{k}_p d\vec{k}'_p (\hat{A}_{\vec{k}_p} \hat{G} \hat{A}_{\vec{k}'_p}^*) \delta(\vec{k}_p - \vec{k}'_p - \vec{\alpha}_p) \exp \left\{ -i \int_{z_0}^z \Delta k_z^p dz' \right\}, \quad (1.8)$$

где  $\Lambda_T^2 = \Lambda_{T0}^2 (1 + \delta^{-1} \alpha_p^2 \rho_{He}^2)$ ,  $\Lambda_{T0}^2 = \frac{\delta \gamma}{2}$ ,  $\rho_{He} = \frac{V_T e}{\omega_{He}}$ .

## § 2. Приближение случайных фаз.

Уравнения (1.1а) – (1.2а) и (1.7) – (1.8) мало обозримы и практически не решаемы. Дальнейших упрощений можно добиться, предположив случайность фаз взаимодействующих плазменных волн и неоднородностей плотности. Физически это предположение вполне оправдано, особенно в условиях, когда в момент включения волны накачки в плазме уже имелись начальные неоднородности со случайным распределением. Такая ситуация типична для ионосферы. Случайному распределению фаз способствует и то обстоятельство, что плазменные волны обычно нарастают от уровня тепловых флуктуаций. И, наконец, перемешиванию фаз способствует пространственная неоднородность среды.

Приближению случайных фаз (ПСФ) соответствует дельта-коррелированность спектральных компонент  $A_{\vec{k}_p}$  и  $\Delta N_{\vec{x}_p}$  в нулевом приближении:

$$\langle A_{\vec{k}_p}^{(0)} A_{\vec{k}'_p}^{(0)} \rangle = \frac{8\pi W_{\vec{k}_p}}{(\partial D/\omega \partial \omega)} \delta(\vec{k}_p - \vec{k}'_p), \quad (2.1)$$

$$\langle \Delta N_{\vec{x}_p}^*(z) \Delta N_{\vec{x}'_p}^*(z) \rangle = \Delta N_{\vec{x}_p}^2 \delta(\vec{x}_p - \vec{x}'_p),$$

где  $W_{\vec{k}_p}$  – спектральная плотность энергии плазменных колебаний,  $\Delta N_{\vec{x}_p}^2$  – спектр интенсивности флуктуаций электронной плотности, угловые скобки означают усреднение по ансамблю. Взаимодействие при этом обусловлено слабой корреляцией, возникающей при учете правых частей в уравнениях (1.1а) – (1.2а). Свообразие рассматриваемого случая связано с регулярной неоднородностью среды и вырождением пространственного спектра низкочастотных возмущений по одному направлению (неоднородности сильно вытянуты вдоль магнитного поля). Указанное вырождение приводит к сохранению корреляции на масштабах  $\Delta z \sim \Lambda_T^{-1} \cos \alpha$  ( $\alpha = (\vec{z}_0, \vec{H})$ ), т.е.

$$\langle \Delta N_{\tilde{x}_p}(\tilde{x}) \Delta N_{\tilde{x}_p}^*(\tilde{x}') \rangle = \Delta N_{\tilde{x}_p}(\tilde{x}) \delta(\tilde{x}_p - \tilde{x}'_p), \quad (2.2)$$

при  $\Delta \tilde{x} = |\tilde{x} - \tilde{x}'| < \Lambda_T^{-1} \cos \alpha$ ,

где  $\Lambda_T^{-1}$  — характерный масштаб неоднородностей вдоль  $\tilde{H}$ .  $\tilde{x}$  — средняя точка из интервала  $[\tilde{x}, \tilde{x}^+]$ . Как мы уже видели на примере линейной стадии (§ 2-4 [2]), сильная вытянутость флюктуаций плотности вдоль магнитного поля в неоднородной плазме дает сдвиг фаз на  $\pi/2$  при взаимодействии волн с низкочастотными возмущениями и сохраняет корреляцию стоксовой и антистоксовой компонент плазменных колебаний. Это приводит к важным следствиям; в частности, требованию существования точки поворота для плазменных волн. Аналогичные условия имеют место и в ПСФ. Более подробно данный вопрос рассмотрен в приложении.

Вырождение спектра неоднородностей, а также особенности дисперсионного уравнения для плазменных волн (см. ниже) приводят еще к одному существенному отличию от обычного случая слаботурбулентной плазмы в приближении случайных фаз: при рассмотрении перекачки энергии плазменных волн по спектру — за многократного рассеяния приходится учитывать конечную ширину пространственных резонансов, обусловленную затуханием плазменных волн из-за столкновений. Вывод уравнений для спектральной плотности энергии  $W_{k_p}, W_t$  и интенсивности флюктуаций  $\Delta N_{\tilde{x}_p}^2$  с учетом указанных особенностей дан в приложении. Приведем эти уравнения в виде, удобном для дальнейших исследований.

Уравнение (1.2) для интенсивности волны накачки удобно записать в виде:

$$S_t(\tilde{x}) = V_{\tilde{x}}^t W_t = S_0 \exp \{-\Gamma(\tilde{x})\}, \quad (2.3)$$

$$\Gamma(\tilde{x}) = \frac{\pi}{4} \int_{\tilde{x}_p}^{\infty} \frac{d\tilde{x}_p}{V_t} \frac{\beta_{tl}^2}{\left[ \partial \Delta K_{\tilde{x}}^t / \partial \tilde{x} \right]_{\tilde{x}_p}^2} \left. \frac{\partial K_{\tilde{x}}^t}{\partial \tilde{x}} \right|_{\tilde{x}_p^*} \Delta N_{\tilde{x}_p}^2, \quad (2.4)$$

где  $S_t(\tilde{x})$  — поток энергии в волне накачки на уровне  $\tilde{x}$ ,  $S_0$  — поток на входе в плазменный слой,  $\Delta K_{\tilde{x}}^t = k_t - k_{\tilde{x}} \mp \omega_{\tilde{x}}$ ,  $|\partial \Delta K_{\tilde{x}}^t / \partial \tilde{x}| \approx |\partial K_{\tilde{x}}^t / \partial \tilde{x}|$ ,  $\tilde{x}_p^*$  — координата точки, в которой  $\Delta K_{\tilde{x}}^t = 0$ , нижний предел интегрирования в (2.4) определяется из соотношения  $k_t - k_{\tilde{x}} (\tilde{k}_p - \tilde{x}_p^*, \tilde{x})$ , где  $K_{\tilde{x}} = K_{\tilde{x}}(\tilde{k}_p, \tilde{x})$  — есть решение дисперсионного уравнения для

плазменных волн:

$$\Im(\vec{k}_\perp, k_{||}) = 3V_T^2 K^4 - (\omega^2 - \omega_p^2 - \omega_h^2 k_\perp^2 / K^2) K^2 - \omega_h^2 \frac{k_\perp^2 k_0^2}{K^2} = 0, \quad (2.5)$$

где  $k_0 = \omega/c$ ,  $K^2 = k_p^2 + k_z^2 = k_\perp^2 + k_{||}^2$ ,  $k_z = K \cos \theta$ ,

$$\vec{k}_p = \vec{k}_p (K \sin \theta \cos \varphi, K \sin \theta \sin \varphi), \quad (K, \theta, \varphi) -$$

система сферических координат (рис. 1),  $\tan \varphi = k_y / k_z$ ,  $\cos \theta = k_z / K_t$   
ось  $\vec{z} \parallel \nabla N$ ,  $K_t$ ;  $K_{||}$  — проекция  $\vec{k}$  на  $\vec{N}$ ,  $K_\perp$  — модуль перпендикулярной к  $\vec{N}$  составляющей  $\vec{k}$ ,  $k_p = \text{const}(\vec{z})$  — следствие закона Снеллиуса. Учтем далее следующее соотношение:

$$\frac{\partial K_x}{\partial \omega} \left| \frac{\partial \Delta K_z}{\partial z} \right|^{-1} \approx \frac{\partial K_z}{\partial \omega} \left( \frac{\partial K_x}{\partial z} \right)^{-1} \approx \frac{\partial \Im / \partial \omega}{|\partial \Im / \partial z|} \approx \frac{2L}{\omega}, \quad (2.6)$$

где  $L = (d \ln N / dz)^{-1}$ ,  $\omega \approx \omega_p$ .

Принимая во внимание (2.6), выражение (2.3) можно переписать в виде:  
( $V_t = \text{const}(\vec{z})$ )

$$\Gamma(z) = a \int_{-\infty}^{\infty} d\vec{\alpha}_p \Delta N_{\vec{\alpha}_p}^2, \quad a = \frac{\pi L \omega}{N^2 V_t}. \quad (2.7)$$

Запишем теперь уравнение переноса энергии для плазменных волн. Согласно (5П) его можно представить в виде:

$$\begin{aligned} \frac{\partial}{\partial z} (V_z W_{\vec{k}_p}) + V_e W_{\vec{k}_p} &= \sum_i \int \frac{W_i(z) \Delta N_{\vec{\alpha}_p}^2 V_e \beta_{et}^2 \delta(\vec{k}_p + \vec{\alpha}_p) d\vec{\alpha}_p}{(K_z - K_t + \vec{\alpha}_z)^2 V_z^2 + V_e^2} \beta_{ee}^2 V_e d\vec{\alpha}_p d\vec{k}'_p \times \\ &\times \left[ \frac{W_{\vec{k}_p}}{V_e^2 + (k_z - k'_z - \vec{\alpha}_z)^2 V_z^2} - \frac{W_{\vec{k}'_p}}{V_e^2 + (k_z - k'_z - \vec{\alpha}_z)^2 V_z^2} \right] \Delta N_{\vec{\alpha}_p}^2 \delta(\vec{k}_p - \vec{k}'_p - \vec{\alpha}_p). \end{aligned} \quad (2.8)$$

Рассмотрим второй член в правой части (2.8), соответствующей многократному рассеянию плазменных волн. Перепишем его следующим образом:

$$\begin{aligned} J &= - \int \beta_{ee}^2 V_e d\vec{\alpha}_p d\vec{k}'_p \left\{ \frac{W_{\vec{k}_p}}{V_e^2 + \Delta K_z^2 V_z^2} - \frac{W_{\vec{k}'_p}}{V_e^2 + \Delta K_z^2 V_z^2} \right\} \Delta N_{\vec{\alpha}_p}^2 \delta(\vec{k}_p - \vec{k}'_p - \vec{\alpha}_p) = \\ &= \int \beta_{ee}^2 V_e dK'_{||} d\Psi \left\{ \frac{W_{K_{||}}}{V_e^2 + (k_{||} - k'_{||})^2 V_z^2} - \frac{W_{K'_{||}}}{V_e^2 + (k_{||} - k'_{||})^2 V_z^2} \right\} \Delta N_{\vec{\alpha}_p}^2 \delta(\vec{k}_p - \vec{k}'_p - \vec{\alpha}_p). \end{aligned} \quad (2.9)$$

В пределах  $\nu_e \rightarrow 0$  получим обычное выражение

$$\frac{J}{\nu_e} \approx \int \beta_{ee} V_z^{-1} d\bar{k}_{||}^1 d\psi (W_{K||} - W_{K' ||}) \delta(\bar{k}_{||} - \bar{k}'_{||}) \Delta N_{\bar{k} = \bar{k}_1 - \bar{k}'_1}^2. \quad (2.9a)$$

Если теперь учесть, что при  $\bar{k}_{||} = \bar{k}'_{||}$  из (2.6) следует равенство  $|\bar{k}_\perp| = |\bar{k}'_\perp|$ , приходим к выводу, что для сильно вытянутых вдоль  $\bar{H}$  неоднородностей многократное рассеяние изотропизует плазменные волны по углу  $\Psi$  (в плоскости  $\perp H_0$ ) без изменения модуля  $|\bar{k}|$ . Изменение модуля  $|\bar{k}|$  при рассеянии возникает, если учесть размытие дельта-функции по  $\bar{k}_{||}$  (см. (2.9)). В пределах малых  $\nu$  изменение модуля  $|\bar{k}|$  при одном акте рассеяния мало:  $\Delta K / K \ll 1$ . Это позволяет перейти в (2.8) от интегральной формы к диффузионному приближению. Полагая плотность энергии плазменных волн слабо зависящей от  $\Psi$  (что имеет место, например, при малых углах между  $\bar{x}_0$  и  $\bar{H}$ ) и используя узость ядра по  $|\bar{k}_p|$  под интегралом (2.9), преобразуем уравнение (2.8) к виду:

$$\frac{\partial}{\partial \bar{x}} (V_z W_{\bar{k}_p}) + \nu_e W_{\bar{k}_p} = \sum_{\mp} \int \frac{W_t(\bar{x}) \Delta N_{\bar{x}_p}^2 \nu_e \beta_{et}^2 \delta(\bar{k}_p \mp \bar{x}_p)}{(\bar{k}_z - \bar{k}_t \mp \bar{x}_z)^2 V_z^2 + \nu_e^2} d\bar{x}_p + \quad (2.10)$$

$$+ \frac{\partial}{\partial K_p^2} \left\{ \frac{\sqrt{V_p} \beta_{ee} \Delta N^2}{(V_p^2 / 4 K_p^2)^2} \frac{\partial}{\partial K_p^2} \left( \frac{W_{\bar{k}_p} V_p^2}{4 K_p^2} \right) \right\},$$

где  $\Delta N^2 = \int \Delta N_{\bar{x}_p}^2 d\bar{x}_p$ ,  $V_p$  — модуль проекции групповой скорости на плоскость  $\perp \bar{x}_0$ .

Перейдем теперь к описанию низкочастотных возмущений в приближении случайных фаз. Начнем со случая, когда диффузионным членом в уравнении переноса энергии для плазменных волн (2.10) можно пренебречь<sup>+)</sup>. Согласно выражениям (13 П)–(14 П) уравнение для спектральной интенсивности флуктуаций  $\Delta N_{\bar{x}_p}^2$  в этом приближении можно записать в виде:

$$(1-\xi)^2 \Delta N_{\bar{x}_p}^2 = \frac{2\pi \nu_e^2 \Lambda_T^{-2}}{9 T^2 D_T^2} \cdot \int \frac{\beta_{et}^2 \beta_{ee}^2 d\bar{k}_p d\bar{x}_p d\bar{x}_p^2 W_t(\bar{x}_{t1}) W_t(\bar{x}_{t2})}{V_{z1} V_{z2} |\partial \Delta K_{\bar{x}}^t / \partial \bar{x}|_{\bar{x}_{t1}^*} |\partial \Delta K_{\bar{x}}^t / \partial \bar{x}|_{\bar{x}_{t2}^*}} \quad (2.11)$$

<sup>+) Точнее, можно пренебречь вторым членом в правой части динамического уравнения (1.1 а) для плазменных волн.</sup>

$$\frac{\delta(\bar{k}_p - \bar{\alpha}_p) \delta(\bar{k}_p - \bar{\alpha}_p + \bar{\alpha}_{p_2})}{V_z | \partial \Delta K_z^t / \partial z |} : \Delta N_{\bar{\alpha}_p}^2 \cdot \Delta N_{\bar{\alpha}_{p_2}} \cdot \Phi \left( \frac{W_t^t}{W_t^t} \right),$$

где  $\xi = \frac{43 \pi \beta_{lt} \Lambda^{-1}}{3 T D} \frac{A_t^t A_t^t \sin \beta}{V_z |\partial \Delta K_z^t / \partial z|}$ ;  $\beta$  характеризует относительный набег фаз плазменной и электромагнитной волн между точкой поворота и областью взаимодействия.

(подробнее см. § 3 [2]).

$A_t^t = A_t^1$  — амплитуды падающей и отраженной волн поля накачки,  $\Lambda^{-1} = \Lambda_{T0}^c (1 + \rho_{He}^2 \alpha^2 \delta^{-1})$ ,  $\Phi$  — интерференционный множитель ( $\Phi \sim 1$ ). При выводе (2.11) предполагалось, что затухание плазменной волны на пути между точкой поворота и областью взаимодействия незначительно, а коэффициенты  $|\partial \Delta K_z^t / \partial z|$  не малы.

В случаях, когда справедливо уравнение (2.11), плотность энергии плазменных волн равна:

$$W_{K_p}(z) = \sum_{\pm} \int_{K_{min}}^{\infty} \left( \frac{W_t \Delta N_{\bar{\alpha}_p}^2 \beta^2}{V_z |\partial \Delta K_z^t / \partial z|} \right)_{z=z_t^*} \delta(\bar{k}_p \mp \bar{\alpha}_p) d\bar{\alpha}_p \exp \left\{ - \int_{z_t^*}^z \frac{v}{V_z} dx \right\}. \quad (2.12)$$

При малых углах между  $\bar{k}$  и  $\bar{H}$  спектр  $\Delta N_{\bar{\alpha}_p}^2$  можно считать почти изотропным, а величину  $V_z |\partial \Delta K_z^t / \partial z|$  равной  $\omega / 2L$  (см. (2.8)). При этом

$$W_{K_p} = \frac{2 \beta_{lt}^2 L}{\omega V_z} \sum_{\mp} \int d\bar{\alpha}_p \delta(\bar{k}_p \mp \bar{\alpha}_p) W_t(z_t^*) \Delta N_{\bar{\alpha}_p}^2 \exp \left\{ - \int_{z_t^*}^z \frac{v}{V_z} dx \right\}. \quad (2.12a)$$

Учитывая значение коэффициента  $|\partial \Delta K_z^t / \partial z| / V_z$  и проводя интегрирование с помощью  $\delta$ -функций, запишем уравнение (2.11) в следующем виде:

$$(1-\epsilon)^2 \Delta N_{\bar{\alpha}_p}^2 = \int \frac{16 \pi L^3 \beta^4 \rho^2}{g T^2 D^2 \omega^3 V_t} G(k_p, \alpha_p) d\bar{k}_p W_t(z_{t1}^*) W_t(z_{t2}^*) \Delta N_{\bar{\alpha}_p}^2 \Delta N_{\bar{k}_p - \bar{\alpha}_p}^2, \quad (2.13)$$

где  $G = \frac{V_t}{V_z} \left| \frac{\partial \Delta K_z^t / \partial z}{\partial \Delta K_z^t / \partial z} \right|$  и предположено, что  $\int_{z_{t1}^*}^{z_{t2}^*} \frac{v}{V_z} dx + \int_{z_{t2}^*}^{z_{t1}^*} \frac{v}{V_z} dx < 1$ . Как уже отмечалось, координаты точек взаимодействия  $z_{t1}^*, z_{t2}^*$  определяются следующим соотношением:

$$k_t = k_{\vec{x}}(\vec{x}_p, \vec{z}_t^*) = \vec{x}_{\vec{x}}, \quad k_{\vec{x}}(\vec{z}_p^*, k_p) = k'_{\vec{x}}(k'_p, \vec{z}_p^*) = \vec{x}_{\vec{x}} \quad (2.14)$$

$$\vec{k}_p = \pm \vec{\alpha}_p \quad \vec{k}_p = \vec{k}'_p \pm \vec{\alpha}_p.$$

Уравнения (2.3), (2.10) и (2.13) представляет собой замкнутую систему для отыскания стационарных значений  $W_t(z)$  и  $\Delta N_{\vec{x}_p}^2$ .

### § 3. Анализ нелинейной стадии ТПН.

Исследуем решения системы уравнений (2.3), (2.10) и (2.13) при заданной на входе в слой плазмы амплитуде волны накачки  $A_{t_0}$ . Подставляя (2.3) и (2.10) в (2.13), будем иметь:

$$\frac{\Delta N_{\vec{x}_p}^2}{\vec{x}_p} (1-\xi)^2 = \alpha \xi_0^2 \int d\vec{k}_p \Lambda^2(\vec{x}_p) G(\vec{x}_p) \times \\ \times \frac{\Delta N_{\vec{x}_p}^2}{\vec{x}_p} \frac{\Delta N_{\vec{k}_p - \vec{x}_p}^2}{\vec{k}_p - \vec{x}_p} \exp \left\{ -\Gamma(\vec{k}_p) - \Gamma(\vec{k}_p - \vec{x}_p) \right\}, \quad (3.1)$$

где

$$\Lambda(\vec{x}_p) = (1 + \beta_{He}^2 \vec{x}^2 \delta^{-1})^{1/2}, \quad \xi_0 = \frac{4\pi}{3} \frac{W_{t_0} (\vec{\alpha}_t \vec{\alpha}_e^*)^2}{N T_e} \Lambda_{T_0} 4 \delta^{-1}$$

$$\xi = \xi_0 \Lambda \sin \vartheta \cdot \exp \{-\Gamma_m\}, \quad \alpha = \frac{\pi L W}{V_t N^2}, \quad W = \frac{(\xi_0^*)^2}{8 \pi}.$$

Найти строгое решение (3.1) довольно сложно. Мы ограничимся качественным анализом этого уравнения. Предположим сначала, что спектр  $\frac{\Delta N_{\vec{x}_p}^2}{\vec{x}_p}$  существенно уже функций  $G$  и  $\Lambda$ , причем максимум приходится на относительно малые значения  $\vec{x}_p$ <sup>1)</sup>. В этом случае (3.1) можно преобразовать в виду:

$$\Gamma_m (1-\xi)^2 = \bar{G} \xi_0^2 (1 - \exp \{-\Gamma_m\})^2, \quad (3.2)$$

где  $\bar{G}$  — некоторое среднее значение  $G$ . В (3.2) учтено, что  $\Lambda(\vec{x}_p=0)=1$ ,  $\Gamma_m = \alpha \int d\vec{x}_p \frac{\Delta N_{\vec{x}_p}^2}{\vec{x}_p}$  полное ослабление волны накачки на пути от начала слоя плазмы до точки отражения. Аналогичная структура уравнения (3.1), но с несколько другими коэффициентами, получается и в том случае, если форма спектра  $\frac{\Delta N_{\vec{x}_p}^2}{\vec{x}_p}$  слабо зависит от интенсивности волны накачки  $W_{t_0}$ .  
\*) Такой вид спектра следует из анализа линейной теории ТПН (см. рис. 46 [2]).

С другой стороны, из (3.1) можно видеть, что ширина спектра  $\Delta N_0^2$  не превышает заметно ширины подынтегральной функции  $\tilde{G} \Lambda^2$ , т.е. удовлетворяет требованию, при котором справедливо уравнение (3.2). В силу указанных соображений есть основания считать, что уравнение (3.2) качественно правильно описывает зависимость аномального ослабления волны накачки  $\Gamma_{in}$  от ее интенсивности  $W_{t_0}$ . График этой зависимости дан на рис. 2. Пунктиром проведен участок кривой, соответствующий неустойчивым состояниям равновесия.

В соответствии с рис. 2 развитие ТПН происходит следующим образом. При малых начальных возмущениях плотности ( $\Delta N_0^2 \rightarrow 0$ ) неустойчивость возбуждается при превышении порога  $\xi_{in} > 1$  по амплитуде волны накачки. Стационарный уровень флуктуаций плотности на линейной стадии высок и соответствует участку кривой  $ab$ . При наличии начальной неоднородной структуры ионосферы конечной амплитуды  $\Delta N_0^2$  возможен режим ТПН с жестким возбуждением, отвечающий участку  $ab$ . По-видимому, этот режим соответствует резонансной неустойчивости, исследованной в линейном приближении в [5]. Наличие такого режима приводит к появлению гистерезиса в зависимости интенсивности флуктуаций плотности от падающей мощности электромагнитного излучения. Срыв неустойчивости происходит при значительно меньших  $W_{t_0} = W_{cp}$ , чем ее включение. В рассматриваемых условиях, когда  $\tilde{G} \gg 1$ ,

$$W_{cp} \approx \sqrt{2} \tilde{G}^{-1/2} W_{in} \ll W_{in}. \quad (3.3)$$

Интенсивность флуктуаций  $\Delta N_1^2$ , соответствующая точке срыва неустойчивости ( $W_{t_0} = W_{cp}$ ), при этом равна:

$$\Gamma_{m1} \approx 1, \quad \Delta N_1^2 = \omega^{-1}. \quad (3.4)$$

Выше мы не учитывали нелинейную перекачку плазменных волн по спектру. Такая перекачка может существенно сказаться на поведении кривой стационарного состояния (рис. 2) в области больших значений  $\Gamma_{in}$ . Соответствующее значение  $\Gamma_{m2}$ , при котором нужно учитывать перекачку плазменных волн по спектру из-за многократного рассеяния, можно найти из сравнения диффузионной ширины спектра  $W_{kp}$ , соответствующей уравнению (6.9) с шириной функции  $\Lambda^2$ , характеризующей спектр неоднородностей  $\Delta N_{kp}^2$ . Получим следующее соотношение для оценки  $\Gamma_{m2}$ :

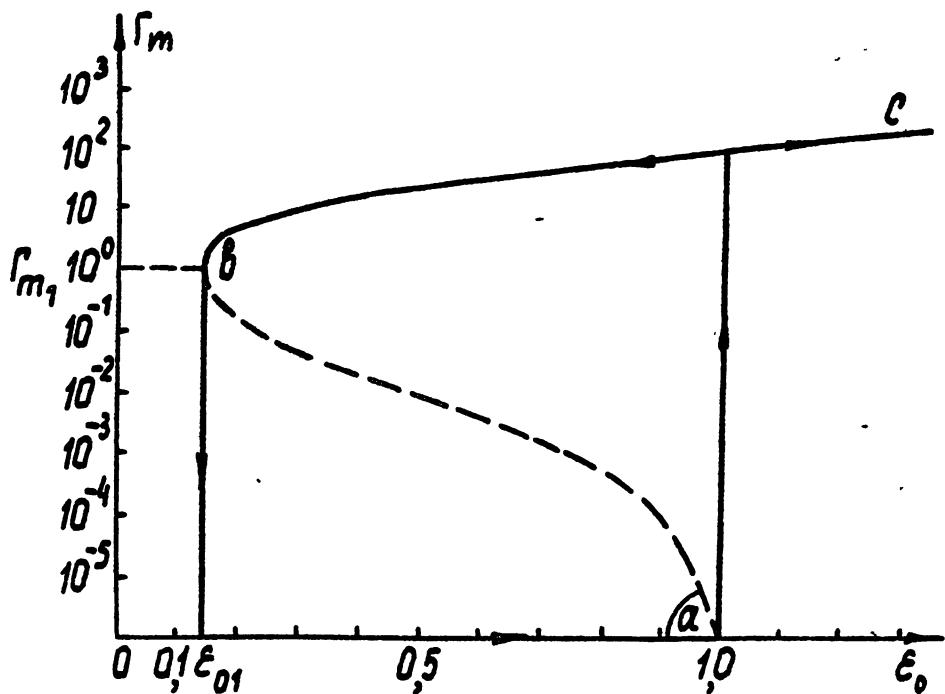


Рис. 2.

Зависимость интенсивности флюктуаций  $\int \Delta N_{\alpha_p}^2 d\alpha_p$  и аномального ослабления  $\Gamma_m$  от мощности волны накачки  $\epsilon_0$ .

$$\Gamma_{m2} \sim \frac{2L\omega_n^2}{V_t w} \left( \frac{V_s^2}{V_{Te}^2} \right)_{K_p = \delta^{1/2} \rho_{He}^{-1}} = \frac{2L\omega_n^2}{V_t w} (k_z / K)^4. \quad (3.5)$$

Полагая, например,  $L \sim 10^7 \text{ см}$ ,  $w \sim 3 \cdot 10^7 \text{ сек}^{-1}$ ,  $(\omega_n^2 / \omega^2) \sim 1/16$  и  $(k_z / K) \sim 0,3$ , имеем  $\Gamma_{m2} \sim 2$ . Таким образом, многократное рассеяние плазменных волн необходимо учитывать практически во всей области существования стационарных состояний, отвечающей участку бс на рис. 2. В случае  $\Gamma_m >> \Gamma_{m2}$  спектр плазменных волн становится существенно шире спектра  $\Delta N \frac{1}{K_p}$ . На рис. 3 изображены сечения поверхностей волновых нормалей, по которым растекается энергия плазменных волн в процессе многократного рассеяния. Красные (а-в) соответствуют трем разным уровням по оси  $\bar{z}$ , причем  $\bar{z}_a > \bar{z}_b > \bar{z}_c$  (отсчет ведется вниз от точки отражения волны на перекачку, принятой за начало координат).

Запишем уравнение, характеризующее стационарный спектр флюктуаций плотности на стадии насыщения, когда основной вклад в нагрев дает нелинейный источник, связанный с взаимодействием плазменных волн. Согласно (13 П) оно имеет вид:

$$\Delta N \frac{1}{K_p} = \Lambda \int d\bar{k}_p d\bar{k}_{p'} W_{\bar{k}_p}(z_e^*) W_{\bar{k}_{p'}}(z_e^*) \left( \left| \frac{\partial \Delta K^e}{\partial z} \right|_{z_e^*} + \frac{v^2}{V_z^2} \right)^{-1} \delta(\bar{k}_p - \bar{k}_{p'} - \bar{\alpha}_p), \quad (3.6)$$

где  $W_{\bar{k}_p}$  определяется уравнением (2.10) с учетом нелинейной перекачки плазменных волн по спектру, а для  $\Lambda$  обозначение то же, что и в (3.1).

В случае, когда основная доля энергии плазменных волн сосредоточена в малых масштабах ( $K_p >> \alpha_{10} \sim \delta^{1/2} \cdot \rho_{He}^{-1}$ ), член в правой части (3.6) можно представить в виде:

$$\begin{aligned} & \int d\bar{k}_p d\bar{k}_{p'} W_{\bar{k}_p} W_{\bar{k}_{p'}} \left( \left| \frac{\partial \Delta K^e}{\partial z} \right|_{z_e^*} + \frac{v^2}{V_z^2} \right)^{-1} \delta(\bar{k}_p - \bar{k}_{p'} - \bar{\alpha}_p) \approx \\ & \approx (\rho^2 + b\alpha_p)^{-1} \int d\bar{k}_p V_z^2 W_{\bar{k}_p}^2(z_e^*), \end{aligned} \quad (3.7)$$

где

$$b = \left( 3V_{Te}^2 / 2L \right) \tan \alpha, \quad \alpha = \left( \frac{V_z}{H} \right).$$

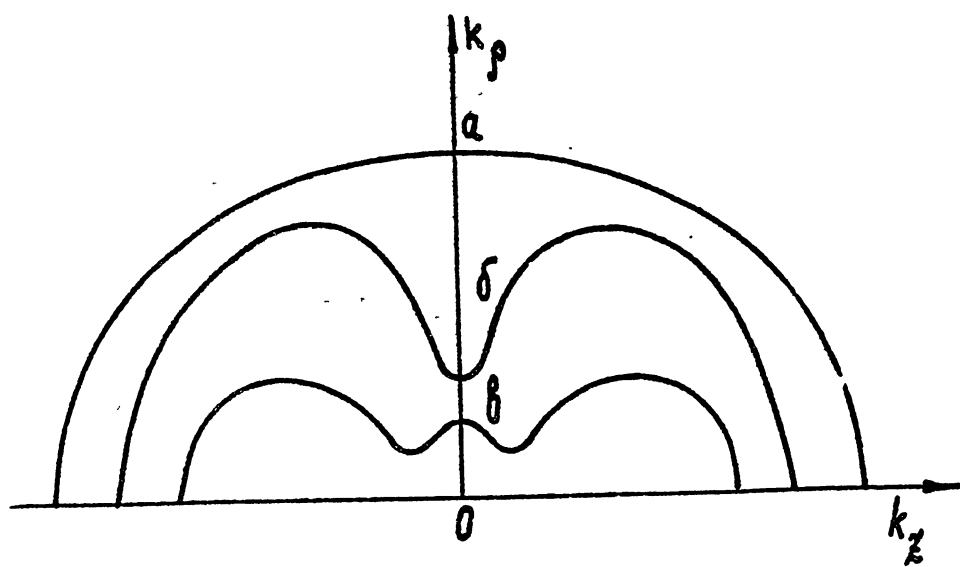


Рис. 3.

Форма поверхностей волновых нормалей плазменной волны в зависимости от расстояния до точки отражения волны накачки.

При получении (3.7) мы учли следующее соотношение  $V_z V_{\bar{z}} \left| \frac{\partial \Delta K_p^2}{\partial z} \right| \approx \frac{3V_{Te}^2 |\Delta z|}{2L}$ , которое справедливо для достаточно больших  $K_p \gg \Delta z$ .

Из уравнения (3.8) с учетом структуры источника (3.7) следует важный качественный вывод: вид пространственного спектра неоднородностей  $\Delta N_{\Delta z_p}^2$  на стадии насыщения слабо зависит от амплитуды волны накачки и определяется следующей функцией:

$$\Delta N_{\Delta z_p}^2 = B \left( 1 + \gamma^{-2} \delta \Delta z_p \right)^{-1} \cdot \left( 1 + \delta^{-1} \rho_e^2 \Delta z^2 \right)^{-1}, \quad (3.8)$$

где  $B$  – нормировочная константа (зависящая от мощности накачки  $W_{t_0}$ ). Из (3.6) и (2.10) вытекает еще важное следствие: диффузия плазменных волн в фазовом пространстве приводит к более медленному росту интенсивности флюктуаций при увеличении  $W_{t_0}$ . Действительно, в отсутствие диффузии  $\Gamma_m$  растет с увеличением мощности накачки как  $W_{t_0}^2$  (см. 3.2)). Диффузия в нашем случае не меняет полной энергии плазменных волн  $\int W_{K_p} d\vec{K}_p \approx \text{const}$ , а интервал  $\Delta K_p$ , занятый плазменными волнами, растет с ростом  $W_{t_0}$ . В итоге имеем

$$\Gamma_m \sim W_{t_0}^2 / \Delta K_p (W_{t_0}) \sim W_{t_0}^p, \quad p < 2.$$

Отыскание значения  $p$  требует совместного решения уравнений (2.10) и (3.8) и выходит за рамки данной работы.

#### § 4. Заключение

Проведенное выше теоретическое рассмотрение относилось к некоторой идеализированной модели, которая по ряду параметров может существенно отличаться от реальной ионосферы. В частности, не были учтены крупномасштабные неоднородности, которые также возбуждаются при воздействии электромагнитного излучения [6] и всегда присутствуют при мелкомасштабном тепловом расслоении ионосферы. Поскольку регулярные изменения среды играют для ТПН важную роль, крупномасштабные неоднородности могут существенно повлиять на количественные результаты. Кроме того, как показано в [7], они могут служить посредством механизма дрейфовой неустойчивости источником начальных мелкомасштабных возмущений.

Основой развитой в §§ 1–3 данной работы нелинейной теории является

приближение случайных фаз, которое, вообще говоря, требует своего обоснования и проверки. Здесь, особенно при высоком уровне турбулентности, вполне возможны связанные с тепловой нелинейностью динамические режимы типа ленгмюровского коллапса (см., например, [8]). Все эти вопросы требуют специального анализа. В то же время ряд качественных выводов, по-видимому, не изменится и при учете указанных выше факторов. Отметим основные из них.

В ионосферной плазме под воздействием мощного электромагнитного излучения возбуждается тепловая параметрическая неустойчивость, связанная с нагревом плазмы электромагнитной волной и рассеянными плазменными волнами. В результате образуются вытянутые вдоль магнитного поля неоднородности концентрации плазмы с широким спектром поперечных масштабов (см. (4.8) § [2]).

Пороги и инкременты неустойчивости зависят от поперечного масштаба неоднородностей и при  $\chi^2 \rho_e^2 > \delta$  пороги растут с ростом  $\chi$  (см. (4.7) § [2]). Зависимость инкремента неустойчивости от  $\chi$  видна из рис. 46[2].

Существенную роль в развитии тепловой параметрической неустойчивости играет начальное состояние плазмы. Если в момент включения волны накачки в ионосфере уже имелось мелкомасштабные неоднородности плотности, неустойчивость возбуждается при меньшей мощности падающей волны. Понижаются пороги и при уменьшении регулярных градиентов плотности плазмы.

Указанная зависимость ТПН от присутствия в ионосфера мелкомасштабных неоднородностей приводит к появлению своеобразного гистерезиса: срыв неустойчивости происходит при существенно меньших амплитудах волны накачки, чем включение ТПН. Вследствие жесткого режима возбуждения интенсивность флуктуаций плотности велика даже вблизи порога, что приводит к значительному аномальному ослаблению волны накачки.

Неоднородности концентрации сильно вытянуты вдоль магнитного поля, причем с увеличением  $\chi$  продольный масштаб уменьшается из-за влияния поперечной диффузии. Пространственный спектр плазменных волн существенно шире спектра неоднородностей и может простираться до очень малых масштабов ( $\lambda \sim r_d$ ).

Указанные выше результаты объясняют многие особенности наблюдаемого мелкомасштабного теплового расслоения ионосферной плазмы [9 - 11].

Одним, в частности, пороговые мощности для ионосферной плазмы. Минимальные пороги в отсутствие начальных возмущений имеют место для  $\chi^2 \rho_e^2 \ll \delta$ . В условиях, типичных для F-области ионосферы (высоты  $h \sim 250$  км)  $\delta \approx 10^{-4}$ ,  $\rho_e \approx 2$  см. Поэтому неравенство  $\chi^2 \rho_e^2 < \delta$  выполняется для

поперечных масштабов неоднородностей

$$\lambda_{\perp} \sim \frac{2\pi}{\alpha} > \frac{2\pi P_e}{\sqrt{\delta}} = 12 \text{ м.} \quad (4.1)$$

Мощность наземного передатчика связана с плотностью энергии электромагнитной волны соотношением

$$S = \frac{V_t E_t^2}{8\pi} = \frac{P G}{8\pi h^2},$$

где  $P$  — мощность передатчика,  $G$  — коэффициент усиления антенны,

$V_t$  — групповая скорость волны накачки. Отсюда можно получить выражение для пороговой мощности передатчика:

$$(P G)_{\text{пор}} = 4\pi V_t^2 N T \epsilon_n^T, \quad (4.2)$$

где  $\epsilon_n^T$  определяется выражением (4.7) § [2]. Групповая скорость обыкновенной волны в области взаимодействия при  $\omega \sim \omega_{pe}$   $V_t = C \frac{\omega_{ne}}{\omega}$ . Для частоты передатчика  $\omega / 2\pi \approx 8 \text{ МГц}$  и значений  $h \approx 250 \text{ км}$

$$\Lambda_{T0}^{-1} = \frac{P_e}{V_t^2} = 30 \text{ км}, \quad L \approx 200 \text{ км}$$

$$(P G)_{\text{пор}} \approx 5 \text{ мГВт.} \quad (4.3)$$

Порог ТПН при  $\alpha^2 P_e^2 / \delta = 8$  ( $\lambda_{\perp} \approx 4,5 \text{ м}$ ) в три раза превышает (4.3). При  $P G \approx 25 \text{ мГВт}$  (кривая 3 на рис. 4б [2]), что соответствует реальным значениям мощностей передатчиков в экспериментах [9-11], возбуждаются неоднородности с  $\lambda_{\perp}$  (см. (4.8) [2]).

$$3,5 \text{ м} < \lambda_{\perp} < 60 \text{ м.} \quad (4.4)$$

Максимальный инкремент неустойчивости при этом (см. (4.8) § [1])

$$\delta \omega_{\max} \approx 5\delta \nu_e \quad \text{при} \quad \lambda_{\perp} \approx 5 + 8 \text{ м} \quad (4.5)$$

При  $\nu_e \approx 5 \cdot 10^2 \text{ сек}^{-1}$  характерное время развития неустойчивости составляет  $\tau \sim \delta \omega_{\max}^{-1} \approx 4 \text{ сек.}$

Приведенные оценки пороговых мощностей (4.3) ширина спектра неоднородностей (4.4) и времени развития неустойчивости (4.5) находятся в хорошем согласии с экспериментом [9-11].

В соответствии с экспериментом находятся также допплеровские сдвиги частот рассеянных сигналов. Качественно можно понять процесс развития неустойчивости на малых мощностях накачки. В этом случае эксперименты [11]

свидетельствуют об очень нерегулярном возникновении неустойчивости с длительной подготовительной фазой. Такое поведение можно объяснить "ожиданием" достаточно больших начальных мелкомасштабных возмущений плотности.

В неплохом согласии с экспериментом находятся величина аномального ослабления накачки, интенсивность и характерная ширина пространственного спектра неоднородностей, а также протяженность спектра плазменных волн в сторону существенно более мелких масштабов, чем спектра неоднородностей.

В последнем эксперименте [12] четко выявлен гистерезисный характер возбуждения мелкомасштабных неоднородностей.

В то же время ряд важных количественных параметров, таких как детальная структура спектра неоднородностей, зависимость уровня флуктуаций  $\Delta N^2$  от мощности волны накачки, время жизни неоднородностей и другое еще предстоит объяснить.

#### Л И Т Е Р А Т У Р А

1. С.М.Грач, В.Ю.Трахтенгерц. Изв.ВУЗов, Радиофизика, 18, 1288, 1975 г.
2. С.М.Грач, А.Н.Караштин, Н.А.Митяков, В.О.Рапопорт, В.Ю. Трахтенгерц  
Тепловая параметрическая неустойчивость в неоднородной плазме.  
Часть 1. Линейная теория. Препринт НИРФИ, № 114, 1978 г.
3. С.М.Грач, А.Н.Караштин, Н.А.Митяков, В.О. Рапопорт, В.Ю. Трахтенгерц  
а) Изв. ВУЗов, Радиофизика, 20, № 12, 1977. б) Физика плазмы, в печати.
4. Н.А.Митяков, В.О. Рапопорт, В.Ю.Трахтенгерц. Изв. ВУЗов, Радиофизика, 18, 1273, 1975.
5. В.В.Васьков, А.В.Гуревич  
а) Препринт ФИАН им. П.Н.Лебедева, № 85, М., 1975. б) ЖЭТФ, 69, 176, 1975. в) Физика плазмы 2, 113, 1976. г) ЖЭТФ 73, 923, 1977.
6. В.В.Васьков, А.В.Гуревич. Изв. ВУЗов, Радиофизика, 18, 1261, 1975.
7. Н.Д.Борисов, В.В.Васьков, А.В.Гуревич. Геомагн. и аэроном., 16, 783, 1976.  
Физика плазмы, 3, 168, 1977.
8. В.Е.Захаров. ЖЭТФ, 62, 1745, 1972.
9. Г.Г.Гетманцев и др. Письма ЖЭТФ, 18, 621, 1973. В.В.Беликович и др.  
Изв. ВУЗов, Радиофизика, 18, 512, 1975.
- 10.Г.Г.Гетманцев и др. Изв. ВУЗов, Радиофизика, 19, № 12, 1976. А.Ф.Беленов и др.  
Изв. ВУЗов, Радиофизика, 20, № 12, 1977.
- 11.У.Ютло, Р.Коэн. УФН, 109, 871, 1973.  
W.F.Utlaut. Proc.IEEE, 63, 1022, 1975.
- 12.Л.М.Ерухимов, С.А. Метелев, Н.А. Митяков, В.Л.Фролов. Письма ЖЭТФ,  
в печати.

## ПРИЛОЖЕНИЕ

1. Получим уравнение для плотности энергий плазменных волн  $W_{\bar{k}_p \omega}$ . Для этого домножим уравнение (1.1) на  $A_{\bar{k}_p \omega}^*$  и сложим с комплексно-сопряженным. Усредняя результат по фазам, будем иметь ( $\delta \omega = 0$ ):

$$\begin{aligned} \frac{\partial}{\partial z} (V_z W_{\bar{k}_p \omega}) + \nu W_{\bar{k}_p \omega} &= \frac{i\omega}{16\pi} \int \frac{\partial R_e (a'_\alpha \epsilon_{\alpha\beta} a''_\beta)}{\partial N} d\Omega d\omega' dx \\ &\times d\bar{\alpha}_p d\bar{k}'_p d\bar{k}_p d\omega' \left[ \Delta N_{\bar{\alpha}_p \bar{\omega}} A_{\bar{k}'_p \omega'} A_{\bar{k}_p \omega_1}^* \right] \exp \left\{ i \int_{z_0}^z (k'_z - k_z - \alpha_z) dx \right\} \quad (1 \text{ П}) \\ &\times \delta(\omega - \omega' - \Omega) \delta(\bar{k}_p - \bar{k}'_p - \bar{\alpha}_p) + \left[ \Delta N_{\bar{\alpha}_p \bar{\omega}}^* A_{\bar{k}'_p \omega'}^* A_{\bar{k}_p \omega_1} \right] \\ &\times \exp \left\{ -i \int_{z_0}^z (k'_z - k_z + \alpha_z) dx \right\} \delta(\omega + \Omega - \omega') \delta(\bar{k}_p + \bar{\alpha}_p - \bar{k}'_p) + \text{к. с.} \end{aligned}$$

В левой части (1 П) мы использовали равенство:

$$\langle A_{\bar{k}_p}^*(z) A_{\bar{k}'_p \omega'}(z') \rangle \approx \frac{8\pi W_{\bar{k}_p \omega}(z)}{\partial D/\omega d\omega} \delta(\bar{k}_p - \bar{k}'_p) \delta(\omega - \omega'). \quad (2 \text{ П})$$

Положим  $A_{\bar{k}_p \omega} = A_{\bar{k}_p \omega}^{(0)} + A_{\bar{k}_p \omega}^{(1)} + \dots$ , где  $A_{\bar{k}_p \omega}^{(0)}$  — малая корреляционная добавка, возникающая из-за взаимодействия. Ее можно найти методом последовательных приближений из динамического уравнения (1.1):

$$\begin{aligned} A_{\bar{k}_p \omega}^{(1)\pm}(z) &= i \int_{z_0}^z \frac{\beta_{tt}^{\pm} \Delta N_{\bar{\alpha}_p \bar{\omega}}(z') A_t(z')}{\partial D^{\pm} / \partial k_z} d\bar{z}' \exp \left\{ - \int_{z_1}^z \frac{v + \tilde{y}^{\pm}}{V_z^{\pm}} dx \right\} - \\ &- i \int_{z_0}^{z'} (k_t - k_z \pm \alpha_z) dx \} d\bar{\alpha}_p d\Omega \delta(\bar{k}_p \mp \bar{\alpha}_p) \delta(\omega_t - \omega \pm \Omega) + \\ &+ i \int_{z_0}^z d\bar{z}' \int d\bar{k}'_p d\omega' d\bar{\alpha}_p d\Omega \frac{\beta_{ee} \Delta N_{\bar{\alpha}_p \bar{\omega}}(z') A_{\bar{k}'_p \omega'}}{\partial D^{\pm} / \partial k_z} \times \\ &\times \exp \left\{ - \int_{z'}^z \frac{v + \tilde{y}^{\pm}}{V_z^{\pm}} dx - i \int_{z_0}^{z'} (k'_z - k_z \pm \alpha_z) dx \right\} \delta(\bar{k}_p - \bar{k}'_p \mp \bar{\alpha}_p) \delta(\omega - \omega' \mp \Omega). \quad (3 \text{ П}) \end{aligned}$$

В случае  $A_{k_p \omega}^{(1)} \ll A_{k_p \omega}^{(0)}$  тройные корреляции в (1 П) можно представить в виде:

$$\begin{aligned} & \langle \Delta N_{\vec{k}_p \Omega} A_{k'_p \omega} A_{k_p \omega}^* \rangle = \langle \Delta N_{\vec{k}_p \Omega}^{(0)} A_{k'_p \omega}^{(1)} A_{k_p \omega}^{(0)*} \rangle + \\ & + \langle \Delta N_{\vec{k}_p \Omega}^{(0)} A_{k'_p \omega}^{(0)} A_{k_p \omega}^{(0)*} \rangle + \langle \Delta N_{\vec{k}_p \Omega}^{(0)} A_{k'_p \omega}^{(0)} A_{k_p \omega}^{(0)*} \rangle. \end{aligned} \quad (4 \text{ П})$$

Оценки показывают, что в рассматриваемом случае третьим членом в (4 П) можно пренебречь. Теперь учтем, что в приближении случайных фаз выполняются соотношения (2.1). Подставляя (3 П)–(4 П) в (1 П) и используя (2.1), окончательно получим:

$$\begin{aligned} & \frac{\partial}{\partial \xi} (V_z W_{k_p \omega}) + V W_{k_p \omega} = \\ & = \sum_{\pm} \int \frac{W_t \Delta N_{\vec{k}_p \Omega}^2 V \beta_{\ell t}^2 \delta(\vec{k}_p \mp \vec{\alpha}_p)}{V^2 + (k_z - k_t \mp \alpha_z)^2 V_z^2} \delta(\omega - \omega_t \mp \Omega) d\vec{\alpha}_p d\Omega - \\ & - \int \beta_{\ell \ell}^2 V \Delta N_{\vec{k}_p \Omega}^2 \delta(\vec{k}_p - \vec{k}'_p - \vec{\alpha}_p) \delta(\omega - \omega' - \Omega) \times \\ & \times \left[ \frac{W_{k_p \omega}}{V^2 + (k_z - k'_z - \alpha_z)^2 V_z^2} - \frac{W_{k'_p \omega'}}{V^2 + (k_z - k'_z - \alpha_z)^2 V_z^2} \right] d\vec{\alpha}_p d\vec{k}'_p d\omega' d\Omega, \end{aligned} \quad (5 \text{ П})$$

где мы предположили, что в плазме присутствуют монохроматическая волна накачки и ансамбль плазменных волн, т.е.

$$A_{k_p \omega} = A_t \delta(\omega - \omega_t) \delta(\vec{k}_p) + A_{k_p \omega}^e$$

$W_t = (A_t^2 / 8\pi)$  – плотность энергии волны накачки. При получении правой части (5 П) было использовано то обстоятельство, что фазовые множители типа  $\int_{\frac{\omega}{V}}^{\frac{\omega}{V}} (k_z - k'_z - \alpha_z) dx$  меняется гораздо быстрее амплитудных  $W_{k_p \omega}$ , поэтому при вычислении интегралов по  $\xi$  в правой части (5 П) оказалось возможным применить метод стационарной фазы.

Уравнение (5 П) описывает эволюцию спектра плазменных волн. Однако (1 П) можно использовать и для получения уравнения, описывающего изменение интенсивности волны накачки. При этом следует учесть, что вследствие большой разницы групповых скоростей электромагнитных и плазменных волн эффектами рас-

сения в электромагнитные волны, как правило, можно пренебречь. Кроме того, обратный приток энергии в волну накачки, связанный с многократным рассеянием, пренебрежимо мал из-за малого фазового объема, занимаемого волной накачки. С учетом указанных замечаний будем иметь:

$$\begin{aligned} & \frac{\partial}{\partial \chi} (V_t W_t) + i W_t = \\ & = - \sum_{\pm} \frac{\beta_{te}^2 \Delta N_{\tilde{x}_p \Omega}^2 W_t}{v^2 + (k_t - k'_z \mp \tilde{\omega}_p)^2} d\tilde{\omega}_p d\tilde{k}'_p d\Omega d\omega' \delta(\tilde{k}'_p \mp \tilde{\omega}_p) \delta(\omega_t - \omega' = \Omega) = \\ & = W_t \sum_{\pm} \int_0^{\infty} \Im \beta_{te}^2 V_z^{-1} \Delta N_{\tilde{x}_p \Omega}^2 d\tilde{\omega}_p d\tilde{k}'_p d\Omega d\omega' \delta(\tilde{k}'_p \mp \tilde{\omega}_p) \delta(\omega_t - \omega' = \Omega), \end{aligned} \quad (8 \text{ II})$$

где  $V_{t,z}$  — проекция групповой скорости на ось  $\chi$  соответственно электромагнитной и плазменной волн.

2. Найдем уравнение для спектра интенсивности флюктуаций плотности  $\Delta N_{\tilde{x}_p \Omega}^2$  в ПСФ. Исходные динамические уравнения (1.1) и (1.7) преобразуем в виде:

$$\begin{aligned} A_{k_p}^{\pm} &= i \int_{x_0}^{x_1} V_z^{-1} \exp \left\{ - \int_{x_1}^{x'} \frac{v + \tilde{v}}{V_z} d\xi \right\} dx' \int d\tilde{\omega}_p \beta_e A_t \Delta N_{\tilde{x}_p}^2 \times \\ &\times \delta(\tilde{k}'_p \mp \tilde{\omega}_p) \times \exp \left\{ i \int_{x_0}^{x'} (k_t - k'_z \mp \tilde{\omega}_p) d\xi \right\}, \quad (7 \text{ II}) \\ &+ i \int_{x_0}^{x_1} V_z^{-1} \exp \left\{ - \int_{x_1}^{x'} \frac{v + \tilde{v}}{V_z} d\xi \right\} dx' \int d\tilde{k}'_p d\tilde{\omega}_p \Delta N_{\tilde{x}_p}^2 \times \\ &\times \delta(\tilde{k}'_p - \tilde{k}'_p - \tilde{\omega}_p) \exp \left\{ i \int_{x_0}^{x'} (k_t - k'_z - \tilde{\omega}_p) d\xi \right\}. \end{aligned}$$

$$\begin{aligned}
 \Delta N_{\alpha_p} = & -\frac{1}{3T \cdot D_T \Lambda_T} \left[ \int_{-\infty}^{\infty} d\zeta' \sum \int d\bar{k}_p (A_{k_p} \sigma A_t^\dagger)^\pm \times \right. \\
 & \times \delta(\bar{k}_p \mp \bar{\alpha}_p) \exp \left\{ \mp i \int_{\zeta_0}^{\zeta'} (k_z' - k_t \mp \alpha_z) dz \right\} + \\
 & + \int_{-\infty}^{\infty} d\zeta' \int d\bar{k}_p' d\bar{k}_p (A_{k_p} \sigma A_{k_p}'^\dagger) \delta(\bar{k}_p - \bar{k}_p' - \bar{\alpha}_p) \times \\
 & \times \exp \left\{ -i \int_{\zeta_0}^{\zeta'} \Delta K_z^e dz \right\} ] , \quad (8 \text{ П})
 \end{aligned}$$

$$\Delta K_z^e = k_z - k_z' - \alpha_z, \Delta N_{\alpha_p}^+ = \Delta N_{\alpha_p}^*, \Delta N_{\alpha_p}^- = \Delta N_{\alpha_p},$$

где опущены медленно меняющиеся в области взаимодействия множители

$\sim \exp\{-\Lambda_T |\zeta - \zeta'|\}$ , и учтена узость спектра по частоте

$$\Delta N_{\alpha_p \Omega} (\Delta N_{\alpha_p} = \int \Delta N_{\alpha_p \Omega} d\Omega, A_{k_p} = \int A_{k_p \omega} d\omega).$$

Чтобы упростить дальнейшие расчеты, рассмотрим два предельных случая.

Один соответствует пренебрежению вторым членом в динамическом уравнении (7 П), описывающим нелинейную перекачку плазменных волн по спектру (второй член в правой части (5 П)). Второй случай отвечает высокому уровню плазменных волн, когда определяющую роль в (8 П) играет нелинейный источник (второй член в правой части (8 П)), и необходимо учитывать перекачку энергии плазменных волн по спектру  $\bar{k}_p$ .

В первом случае имеем:

$$A_{k_p}^\pm = i \int_{\zeta_0}^{\zeta} V_z^{-1} \exp \left\{ - \int_{\zeta'}^{\zeta} \frac{V_z + \tilde{\alpha}}{V_z} dz \right\} dz' \delta_{kt} \Delta N_{\pm k_p}^\mp \exp \left\{ i \int_{\zeta'}^{\zeta} (k_t - k_z \mp \alpha_z) dz \right\}. \quad (9 \text{ П})$$

Подстановка выражения (9 П) в (8 П) обращает первое слагаемое в правой части (8 П) в ноль. Здесь, однако, следует иметь в виду, что в (9 П) не учтены точки поворота для плазменных волн и волны накачки. Как показано в §§ 3+4 в [2], наличие таких точек играет принципиальную роль для ТПН. При этом выражение (9 П) определяет амплитуду плазменной волны  $A_{k_p}^\dagger$ , бегущей в  $(+\bar{k})$  направлении и не имеющей точки отражения выше точки взаимодействия.

стия, т.е. при  $\tilde{x} < \tilde{x}_t^*$  <sup>+</sup>. Поле  $E_{k_p}^{\pm}$  возмущения, бегущего в  $(-\tilde{x})$  направлении, складывается уже из двух волн: волны, возбуждаемой непосредственно в области  $\tilde{x} \sim \tilde{x}_t^*$ , и волны  $E_{k_p}^{\text{отр}}$ , отраженной от уровня  $U + V = \omega_H^2 / \omega^2 + \omega_p^2 / \omega^2 \sim 1$  и вновь вернувшейся в область взаимодействия с волной накачки. Величина  $E_{k_p}^{\pm}$  равна (более подробно см. § 3 [1]):

$$E_{k_p}^{\pm} = A_{k_p}^{\pm} \exp \left\{ i \int_{z_0}^{\tilde{x}} k_z^{\pm} dx \right\} \quad (10 \Pi)$$

$$\begin{aligned} A_{k_p}^{\pm} = & \exp \left\{ -i \int_{z_0}^{\tilde{x}} k_z^{\pm} dx \right\} E_{k_p}^{\pm} (z_{\text{отр}}) \exp \left\{ i \int_{z'}^{\tilde{x}} k_z^{\pm} dx + \right. \\ & + \left. \int_{z_{\text{отр}}}^{\tilde{x}} \frac{V_z^{\pm} d\tilde{x}}{V_z^{\pm}} dx \right\} - i \int_{z_{\text{отр}}}^{\tilde{x}} \frac{\beta_{\text{отр}} \Delta N_{\alpha_p}^{\mp} \delta(k_p \mp \alpha_p)}{|\partial D / \partial \omega| V_z^{\pm}} dz' d\tilde{x} \exp \left\{ \int_{z'}^{\tilde{x}} \frac{V_z^{\pm} d\tilde{x}}{V_z^{\pm}} dx \right\} - \\ & - i \int_{z_0}^{z'} (k_z^{\pm} \mp \alpha_z) dx \} \times (E_t^{\pm} + E_t^{\dagger}), \end{aligned}$$

где  $E_{k_p \text{ отр}}^{\pm} (z) = i \int_{z'}^{\tilde{x}} \frac{\beta_{\text{отр}} \Delta N_{\alpha_p}^{\mp} = \pm \tilde{k}_p d\tilde{x}^{\pm}}{(\partial D / \partial \omega) V_z^{\pm}} (E_t^{\pm} + E_t^{\dagger}) \exp \left\{ -i \int_{z_0}^{z_e} k_z^{\pm} dx \right\} \times \quad (11 \Pi)$

$$\times \exp \left\{ -i \int_{z'}^{z_e} \frac{V_z^{\pm} + \tilde{x}}{V_z^{\pm}} dx + i \int_{z_0}^{z'} (k_z^{\pm} \mp \alpha_z) dx \right\}$$

$$E_t^{\pm} = A_t^{\pm} \exp \left\{ -i \int_{z_0}^{\tilde{x}} k_t^{\pm} dx \right\},$$

$$E_t^{\dagger} = A_t^{\dagger} \exp \left\{ -i \int_{z_0}^{z_t} k_t^{\dagger} dx + i \int_{z_t}^{\tilde{x}} k_t^{\dagger} dx \right\},$$

$\tilde{x}_{l,t}$  — координаты точек поворота плазменной ( $l$ ) и электромагнитной ( $t$ ) волн,  $A_t^{\pm}$  — амплитуды составляющих волны накачки, бегущих в  $(+\tilde{x})$  и  $(-\tilde{x})$  направлениях. В (11 П) учтено, что при одном и том же  $|k_p|$   $V_z^{\pm} \approx -V_z^{\dagger}$  и  $k_z^{\pm} = -k_z^{\dagger} (\alpha \rightarrow 0)$ .

<sup>+</sup>)  $\tilde{x}_t^*$  по-прежнему соответствует уровню, где выполняется синхронизм:

$$k_z(z_t^*) = k_t^{\pm} \pm \alpha_z.$$

С учетом (9 П)–(11 П) первый член в правой части (8 П) можно записать в виде

$$(1) = -\epsilon \Delta N_{\tilde{x}_P}, \quad \epsilon = \frac{\pi \sigma A_t^t A_t^t \beta_{et}}{3 \tau D_T \Lambda_T} \left| \frac{\partial D}{\partial k_z} \frac{\partial \Delta K_z^t}{\partial z} \right|_{z_t^*}^{-1} \quad (12 \text{ П})$$

$$x \exp \left\{ -2 \int_{z_t^*}^{z_0^{\text{opt}}} \frac{v + \tilde{v}}{V_z} dx \right\} \sin \left[ 2 \int_{z_t^*}^{z_0^{\text{opt}}} (k_t - k_z) dx - 2 \int_{z_0^{\text{opt}}}^{z_t^*} k_t dx + \varphi \right]$$

Объединим (12 П) с членом в левой части уравнения (8 П). Домножая теперь (8 П) на  $\Delta N_{\tilde{x}_P}$ , и усредняя по ансамблю, после интегрирования по  $\tilde{x}_P$ , будем иметь

$$\Delta N_{\tilde{x}_P}^2 (1-\epsilon)^2 - \int \frac{\pi \Lambda_T^{-2} v^2 W_{k_P} W_{k'_P} d\bar{k}_P d\bar{k}'_P}{18 T^2 D_T^2 \left| \frac{\partial \Delta K_z^t}{\partial z} \right|_{z_t^*}^{-1}} \cdot \delta(\bar{k}_P - \bar{k}'_P - \tilde{x}_P). \quad (13 \text{ П})$$

Учитывая выражения (8 П)–(10 П) найдем  $W_{k_P}$  в случае, когда можно пренебречь нелинейной перекачкой плазменных волн по спектру:

$$W_{k_P}(z) = \frac{2 \beta_{et} L}{\omega V_z} \Delta N_{k_P}^2 [W_t^t(z) + W_t^t(z) + (W_t^t W_t^t)^{1/2} \cos \vartheta] \times \\ \times \exp \left\{ - \int_{z_t^*}^z (v/V_z) dx \right\} \quad (14 \text{ П})$$

На стадии развитой неустойчивости, когда  $\Delta N_{\tilde{x}_P}^2$  достаточно велико, основной вклад дает член в правой части (13 П) ( $\epsilon$  можно опустить). Следует обратить внимание еще на одно обстоятельство. Множитель  $\left| \frac{\partial \Delta K_z^t}{\partial z} \right|_{z_t^*}^{-1}$  в правой части (13 П) появился после вычисления интеграла

$$\text{Re} \int_{-\infty}^{\infty} dz dz' W_{k_P}(z) W_{k_P}(z') \exp \{-i\Psi(z, z')\} \quad (15 \text{ П})$$

с быстрой фазой  $\Psi = \int_{z'}^z \Delta K_z^t d\xi$ . При  $\left| \frac{\partial \Delta K_z^t}{\partial z} \right| \rightarrow 0$  значение (15 П) следует уточнить. В частности, в случае, когда  $W_{k_P}(z)$  определяется формулой (14 П), (15 П) будет пропорционален следующей величине:

$$J = \operatorname{Re} \int_{\tilde{x}_{t_1}^*}^{\infty} \int_{\tilde{x}_{t_2}^*}^{\infty} d\tilde{x} d\tilde{x}' \exp \left\{ - \int_{\tilde{x}_{t_1}^*}^{\tilde{x}} \frac{\gamma}{V_{\tilde{x}}} dx - \int_{\tilde{x}_{t_2}^*}^{\tilde{x}_1} \frac{\gamma}{V_{\tilde{x}}} dx - i \int_{\tilde{x}'}^{\tilde{x}} \Delta K_{\tilde{x}}^e d\tilde{x} \right\} \quad (16\text{П})$$

Для оценок можно взять групповую скорость постоянной и равной  $V_{\tilde{x}} = V_{\tilde{x}}(\tilde{x}_e^*)$ , где  $\tilde{x}_e^*$  — координата точки синхронизма ( $\Delta K_{\tilde{x}}^e(\tilde{x}_e^*) = 0$ ). В этом случае (16 П) преобразуется к виду:

$$J = 2 \left| \frac{\partial \Delta K_{\tilde{x}}^e}{\partial \tilde{x}} \right|^{-1} \int_0^{\infty} \frac{dx}{x} \exp \left\{ - \frac{\gamma}{V_{\tilde{x}}} x \right\} \cdot \sin \left| \frac{\partial \Delta K_{\tilde{x}}^e}{\partial \tilde{x}} \right| \frac{x^2}{\tilde{x}_e^*} . \quad (17\text{П})$$

При выводе (17 П) мы учли неравенство:

$$\left| \tilde{x}_{t_2}^* - \tilde{x}_e^* \right| < \frac{V_{\tilde{x}}}{\gamma} .$$

Значение интеграла (17 П) легко получить в двух предельных случаях:

$$J = \begin{cases} 2 \left( \frac{V_{\tilde{x}}}{\gamma} \right)^2 & \text{при } \left| \frac{\partial \Delta K_{\tilde{x}}^e}{\partial \tilde{x}} \right| \cdot \frac{V_{\tilde{x}}^2}{\gamma^2} \ll 1 \\ \left| \frac{2 \partial \Delta K_{\tilde{x}}^e}{\pi \partial \tilde{x}} \right|^{-1} & \text{при } \left| \frac{\partial \Delta K_{\tilde{x}}^e}{\partial \tilde{x}} \right| \cdot \frac{V_{\tilde{x}}^2}{\gamma^2} \gg 1 \end{cases} \quad (18\text{П})$$

Для удобства записи (18 П) можно аппроксимировать  $J$  следующей приближенной функцией:

$$J \approx \frac{\pi}{2} \left( \left| \frac{\partial \Delta K_{\tilde{x}}^e}{\partial \tilde{x}} \right| + \frac{\gamma^2}{V_{\tilde{x}}^2} \right)^{-1} \quad (19\text{П})$$